



(12)发明专利

(10)授权公告号 CN 104888977 B

(45)授权公告日 2017.02.08

(21)申请号 201510310133.3

审查员 何飘

(22)申请日 2015.06.08

(65)同一申请的已公布的文献号

申请公布号 CN 104888977 A

(43)申请公布日 2015.09.09

(73)专利权人 江南大学

地址 214122 江苏省无锡市滨湖区蠡湖大道1800号

(72)发明人 陈海卫 张秋菊 仇庆章

(74)专利代理机构 无锡华源专利商标事务所  
(普通合伙) 32228

代理人 孙力坚

(51)Int.Cl.

B04B 9/14(2006.01)

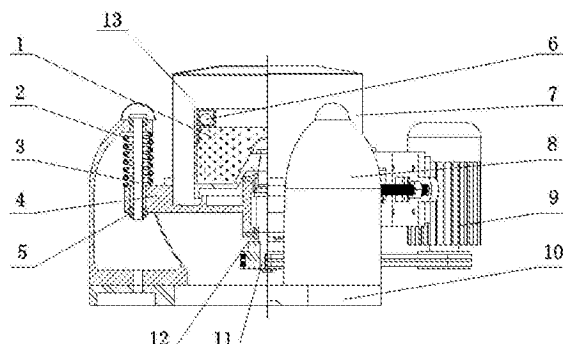
权利要求书2页 说明书8页 附图4页

(54)发明名称

带平衡环装置三足离心机临界倾覆转速的计算方法

(57)摘要

本发明涉及一种带平衡环装置三足离心机临界倾覆转速的计算方法,通过估算最大偏心负载质量,偏心负载旋转半径,偏心负载的高度;计算平衡环内所有球体的最大质量矩,并计算出所有球体的等效旋转半径;计算偏心距,最后得出大盘发生倾覆时的临界转速。本发明针对带有平衡环装置的三足离心机,提供了一种准确、有效的临界倾覆转速计算方法,为其减振、抑振以及动力学特性的优化奠定了基础。



1. 一种带平衡环装置三足离心机临界倾覆转速的计算方法，所述三足离心机包括对称安装于三脚底盘(10)上的三个柱脚(8)，三个柱脚(8)之间悬挂安装有大盘(4)、主轴(11)、及转鼓(1)，转鼓(1)与主轴(11)固连，大盘(4)通过轴承(12)与主轴(11)转动连接，主轴(11)通过大盘(4)上的电机(9)驱动；转鼓(1)的外周安装有外壳(7)，柱脚(8)通过摆杆(3)与大盘(4)连接，摆杆(3)上套置有减震弹簧(2)；

所述平衡环装置包括设于转鼓(1)上的平衡环(13)，所述平衡环(13)中安装有多个球体(6)，其特征在于，该计算方法包括以下步骤：

第一步：测量三足离心机的具体设计参数，包括大盘组件的总质量 $m_s$ ，所述大盘组件包括转鼓(1)、大盘(4)、外壳(7)及电机(9)，电机(9)本身质量为 $m_m$ ；

第二步：估算最大偏心负载质量 $m_u$ ，偏心负载旋转半径 $r_u$ ，偏心负载等效质心相对大盘悬挂平面 $P'1P'2P'3$ 的安装高度 $h_u$ ；

第三步：计算平衡环内所有球体的最大质量矩 $M_b$ ，当球体的个数为奇数时，其计算公式为：

$$M_b = m_b r_b \left( 1 + 2 \sum_{k=1}^{N_h} \cos(k\psi) \right)$$

当球体的个数为偶数时，其计算公式为：

$$M_b = 2m_b r_b \sum_{k=1}^{N_h} \cos(k\psi - \frac{\psi}{2})$$

式中， $m_b$ 为单个球体质量； $r_b$ 为球体旋转半径；相邻两球的夹角 $\psi \approx d/r_b$ ， $d$ 为球体直径； $N_h$ 为平衡环内上半部球体的个数；

第四步：计算所有球体的等效旋转半径 $r_{be}$ ，若所有球体最大质量矩 $M_b$ 小于偏心负载质量矩 $m_u r_u$ 时，其计算公式为：

$$r_{be} = M_b / (N_t m_b)$$

式中 $N_t$ 为平衡环内所有球体个数， $N_t = 2N_h$ 或 $N_t = 2N_h + 1$ ；若 $M_b \geq m_u r_u$ ， $r_{be}$ 计算公式为：

$$r_{be} = m_u r_u / (N_t m_b)$$

第五步：计算偏心距 $e$ ，当所有球体的最大质量矩 $M_b$ 小于偏心负载的质量矩 $m_u r_u$ 时，其计算公式为：

$$e = (m_u r_u - N_t m_b r_{be}) / (m_u + N_t m_b + m_s)$$

当 $M_b \geq m_u r_u$ 后， $e$ 为0；

第六步：计算大盘发生倾覆时的临界转速 $\Omega^*$ ，其计算公式为：

$$\Omega^* = \begin{cases} \sqrt{\frac{m_s g r_{s2} + N_t m_b g (r_{s2} + r_{be}) + m_u g (r_{s2} - r_u) + F_{pre} (r_{s1} + r_{s2}) - m_m g (D_m - r_{s2})}{-\Delta}} & \Delta < 0 \\ \sqrt{\frac{m_s g r_{s2} + N_t m_b g (r_{s2} - r_{be}) + m_u g (r_{s2} + r_u) + F_{pre} (r_{s1} + r_{s2}) - m_m g (D_m - r_{s2})}{\Delta}} & \Delta > 0 \end{cases}$$

式中， $g$ 为重力加速度； $\Delta = N_t m_b (r_{be} + e) h_b + m_s e h_s - m_u (r_u - e) h_u$ ，这里 $h_b$ 、 $h_s$ 和 $h_u$ 分别为平衡环、大盘组件等效质心和偏心负载等效质心相对大盘悬挂平面 $P'1P'2P'3$ 的安装高度； $N_t$ 为平衡环内球体的总个数；三根摆杆中，摆杆一 $P_1P'_1$ 底端铰链 $P'_1$ 与离心机中心轴A轴的距离为 $r_{s1}$ ，摆杆二、三底端铰链 $P'_2P'_3$ 连线相对中心轴A轴的距离为 $r_{s2}$ ； $F_{pre}$ 为摆杆一 $P_1P'_1$ 上减震

弹簧的预紧力;  $m_m$ 为电机的质量;  $D_m$ 为电机中心轴与离心机中心轴A在正视图上的投影距离。

## 带平衡环装置三足离心机临界倾覆转速的计算方法

### 技术领域

[0001] 本发明涉及机械振动研究技术领域,特别涉及三足离心机的减振、抑振及动力学特性的优化方法。

### 背景技术

[0002] 三足离心机是目前用途较为广泛的立式离心设备,其安装结构(以三足过滤式离心机为例)如图1所示,包括对称安装于三脚底盘10上的三个柱脚8,三个柱脚8之间悬挂安装有大盘4、主轴11及转鼓1,转鼓1与主轴11固连,大盘4通过轴承12与主轴11转动连接,主轴11通过三脚底盘10上的电机9驱动;转鼓1的外周安装有外壳7,柱脚8通过减震弹簧2与大盘4之间安装有摆杆3,摆杆3的下端带有铰链5。三足离心机自身悬挂结构的特点决定了其最高工作转速不能过大。当转速过大时,在偏心负载(被分离物)离心力的作用下,大盘组件(包括转鼓1,大盘4,外壳7和电机9等)易与摆杆3的铰链5脱离,由于摆杆3本身轴向阻尼较弱,机体会出现剧烈振动,这里将这种现象称为倾覆现象,将倾覆现象出现的临界转速称为临界倾覆转速。倾覆现象本身会严重影响三足离心机的正常工作。目前,三足离心机仍属低速离心设备,其离心效果不佳,应用场合较窄。为减小三足离心机的振动,提高其最高工作转速,可采用球体平衡环装置6对机体进行动力学特性的调整。但目前,还缺少带平衡环装置的三足离心机临界倾覆转速的计算方法,从而三足离心机动力学特性的优化设计缺少参考基础。

### 发明内容

[0003] 本申请人针对上述带平衡环装置的三足离心机,为其提供一种临界倾覆转速的计算方法,为其动力学特性的优化设计奠定基础。

[0004] 为了解决上述问题,本发明采用如下方案:

[0005] 一种带平衡环装置三足离心机临界倾覆转速的计算方法,所述三足离心机包括对称安装于三脚底盘上的三个柱脚,三个柱脚之间悬挂安装有主轴、转鼓及大盘,转鼓与主轴固连,大盘通过轴承与主轴转动连接,主轴通过三脚底盘上的电机驱动;转鼓的外周安装有外壳,柱脚通过摆杆与大盘连接,摆杆上套置有减震弹簧;所述平衡环装置包括设于转鼓上的平衡环,所述平衡环中安装有多个球体,所述计算方法包括以下步骤:

[0006] 第一步:测量三足离心机的具体设计参数,包括大盘组件的总质量 $m_s$ ,所述大盘组件包括转鼓(1)、大盘(4)、外壳(7)、主轴11及电机(9)等,电机(9)本身质量为 $m_m$ ;

[0007] 第二步:估算最大偏心负载质量 $m_u$ ,偏心负载旋转半径 $r_u$ ,偏心负载等效质心相对大盘悬挂平面 $P_1'P_2'P_3'$ 的安装高度 $h_u$ ;

[0008] 第三步:计算平衡环内所有球体的最大质量矩 $M_b$ ,当球体的个数为奇数时,其计算公式为:

$$[0009] M_b = m_b r_b \left( 1 + 2 \sum_{k=1}^{N_b} \cos(k\psi) \right)$$

[0010] 当球体的个数为偶数时,其计算公式为:

$$[0011] M_b = 2m_b r_b \sum_{k=1}^{N_h} \cos(k\psi - \frac{\psi}{2})$$

[0012] 式中, $m_b$ 为单个球体质量; $r_b$ 为球体旋转半径;相邻两球的夹角 $\psi \approx d/r_b$ , $d$ 为球体直径; $N_h$ 为平衡环内上半部球体的个数;

[0013] 第四步:计算所有球体的等效旋转半径 $r_{be}$ ,若所有球体最大质量矩 $M_b$ 小于偏心负载质量矩 $m_u r_u$ 时,其计算公式为:

$$[0014] r_{be} = M_b / (N_t m_b)$$

[0015] 式中 $N_t$ 为平衡环内所有球体个数, $N_t = 2N_h$ 或 $N_t = 2N_h + 1$ ;若 $M_b \geq m_u r_u$ , $r_{be}$ 计算公式为:

$$[0016] r_{be} = m_u r_u / (N_t m_b)$$

[0017] 第五步:计算偏心距 $e$ ,当所有球体的最大质量矩 $M_b$ 小于偏心负载的质量矩 $m_u r_u$ 时,其计算公式为:

$$[0018] e = (m_u r_u - N_t m_b r_{be}) / (m_u + N_t m_b + m_s)$$

[0019] 当 $M_b \geq m_u r_u$ 后, $e$ 为0;

[0020] 第六步:计算大盘发生倾覆时的临界转速 $\Omega^*$ ,其计算公式为:

$$[0021] \Omega^* = \begin{cases} \sqrt{\frac{m_s g r_{s2} + N_t m_b g (r_{s2} + r_{be}) + m_u g (r_{s2} - r_u) + F_{pre} (r_{s1} + r_{s2}) - m_m g (D_m - r_{s2})}{-\Delta}} & \Delta < 0 \\ \sqrt{\frac{m_s g r_{s2} + N_t m_b g (r_{s2} - r_{be}) + m_u g (r_{s2} + r_u) + F_{pre} (r_{s1} + r_{s2}) - m_m g (D_m - r_{s2})}{\Delta}} & \Delta > 0 \end{cases}$$

[0022] 式中, $g$ 为重力加速度; $\Delta = N_t m_b (r_{be} + e) h_b + m_s e h_s - m_u (r_u - e) h_u$ ,这里 $h_b$ 、 $h_s$ 和 $h_u$ 分别为平衡环、大盘组件等效质心和偏心负载等效质心相对大盘悬挂平面P<sub>1</sub>'P<sub>2</sub>'P<sub>3</sub>'的安装高度; $N_t$ 为平衡环内球体的总个数;三根摆杆中,摆杆一P<sub>1</sub>P<sub>1</sub>'底端铰链P<sub>1</sub>'与离心机中心轴A轴的距离为 $r_{s1}$ ,摆杆二、三底端铰链P<sub>2</sub>'P<sub>3</sub>'连线相对中心轴A轴的距离为 $r_{s2}$ ; $F_{pre}$ 为摆杆一P<sub>1</sub>P<sub>1</sub>'上减震弹簧的预紧力; $m_m$ 为电机的质量; $D_m$ 为电机中心轴与离心机中心轴A在正视图上的投影距离。

[0023] 本发明的技术效果在于:

[0024] 本发明针对带有平衡环装置的三足离心机,提供了一种准确、有效的临界倾覆转速计算方法,为其减振、抑振以及动力学特性的优化奠定了基础。

## 附图说明

[0025] 图1为本发明中三足离心机的结构图。

[0026] 图2为本发明中平衡环的工作原理图。

[0027] 图3为本发明中带双球体的平衡环的工作原理图。

[0028] 图4为本发明中带多球体的平衡环的工作原理图。

[0029] 图5(a)为本发明中大盘出现倾覆时的状态图。

[0030] 图5(b)为图5(a)的俯视图。

[0031] 图6(a)为本发明中大盘出现倾覆时的另一状态图。

[0032] 图6 (b) 为图6 (a) 的俯视图。

[0033] 图中:1、转鼓;2、减震弹簧;3、摆杆;4、大盘;6、球体;7、外壳;8、柱脚;9、电机;10、三脚底盘;11、主轴;12、轴承;13、平衡环。

## 具体实施方式

[0034] 下面结合附图对本发明的具体实施方式作进一步说明。

[0035] 如图1所示,本实施例的带平衡环装置三足离心机临界倾覆转速的计算方法,三足离心机包括对称安装于三脚底盘10上的三个柱脚8,三个柱脚8之间悬挂安装有主轴11、转鼓1及大盘4,转鼓1与主轴11固连,大盘4通过轴承12与主轴11转动连接,主轴11通过三脚底盘10上的电机9驱动;转鼓1的外周安装有外壳7,柱脚8通过摆杆3与大盘4连接,摆杆3上套置有减震弹簧2;平衡环装置包括设于转鼓1上的平衡环13,平衡环13中安装有多个球体6。

[0036] 球体平衡环是一种有效抑制圆盘转子(即本发明中的转鼓1)振动的装置,其工作原理如图2所示。为描述方便,图2中采用两个球体。图2中S为转子的几何形心,也是转子本身质心所在位置,U为偏心负载,C为转子与偏心负载的等效质心,球a和球b是可以绕环形轨道自由移动的球体。由圆盘转子自动定心现象可知,当转子工作转速大于其自身固有频率时,转子与偏心负载会绕着其等效质心C旋转。下面分析球a和球b的受力情况,如图2所示,球a所受的离心力F可沿径向和切向分解为径向力 $F_n$ 和切向力 $F_t$ 。径向力 $F_n$ 与环形轨道支撑力相互抵消,而切向力 $F_t$ 会驱动球体a沿着环形轨道向着W处移动。同理球体b也会在切向力的作用下沿着环形轨道向着W处移动。最终,球体a和球体b会停留在W附近区域,形成B处的等效质量。因为B与U相对,所以B可以有效减小或消除偏心负载U所产生的振动。

[0037] 当两个球体质量较小时,球体a和b最终的位置分布如图3 (a) 所示,图中S为转子的几何形心,U为偏心负载,C为转子与偏心负载所形成的等效质心,O为系统(包括转子,偏心负载和球体)整体的旋转中心,由圆盘转子自动定心现象可知,O也是系统(包括转子,偏心负载和球体)整体的等效质心。图中O与S间的距离e为偏心距,随着球体质量的增大,两球体抵消偏心负载U的能力逐渐增强,偏心距e会越来越小。设每个球体的质量为 $m_b$ ,球体的旋转半径为 $r_b$ ,偏心负载U的质量为 $m_u$ ,偏心负载的旋转半径为 $r_u$ ,当球体质量 $m_b$ 增大到一定程度后,偏心负载U会被完全抵消,偏心距e会变为0,O与S将重合。如果此时球体质量 $m_b$ 继续增大,两球体会分开,其最终位置如图3 (b) 所示,此时偏心距e仍为0,O与S仍然重合。设此时两球体的等效质心为E,E与S的距离为 $r_{be}$ ,此时满足 $m_u r_u = 2m_b r_{be}$ ,即偏心负载的质量矩与两个球体的质量矩相等。

[0038] 为描述方便,上述讨论过程仅以两个球的情况为例,下面针对实际平衡环结构进行讨论,如图4所示。设球体直径为d,球体旋转半径为 $r_b$ ,则相邻两球的夹角 $\psi \approx d/r_b$ 。如果平衡环中球体个数为奇数,则所有球体所能形成的最大质量矩

$$[0039] M_b = m_b r_b \left( 1 + 2 \sum_{k=1}^{N_h} \cos(k\psi) \right) \quad (1)$$

[0040] 式中, $N_h$ 为平衡环内上半部球体的个数,此时平衡环内球体的总个数 $N_t = 2N_h + 1$ 。如果平衡环内球体个数为偶数,则所有球体所能形成的最大质量矩

$$[0041] M_b = 2m_b r_b \sum_{k=1}^{N_h} \cos(k\psi - \frac{\psi}{2}) \quad (2)$$

[0042] 式中,  $N_h$  为平衡环上半部球体的个数, 此时平衡环内球体的总个数  $N_t = 2N_h$ 。为保持球体有最佳的抑制振动的能力, 平衡环内球体的总体积不能超过平衡环总容积的一半。

[0043] 当球体的最大质量矩  $M_b$  小于偏心负载的质量矩  $m_u r_u$  时, 即球体不能完全抵消负载偏心时, 所有的球体紧密靠拢在平衡环的一侧, 这与图3 (a) 相似, 此时平衡环内所有球体的等效质心  $E$  与平衡环几何形心  $S$  间的距离

$$r_{be} = M_b / (N_t m_b) \quad (3)$$

[0045] 式中,  $N_t$  为平衡环内球体的总个数。当平衡环内球体的最大质量矩  $M_b$  大于或等于偏心负载的质量矩  $m_u r_u$  时, 球体不再聚集在一起, 而是像图3 (b) 所示那样分开。由于此时偏心负载被完全抵消, 转子偏心距  $e = 0$ , 球体的质量矩与偏心负载的质量矩  $m_u r_u$  相等。此时平衡环内所有球体的等效质心  $E$  与平衡环几何形心  $S$  间的距离

$$r_{be} = m_u r_u / (N_t m_b) \quad (4)$$

[0047] 对于三足离心机来说, 由于其固有频率非常低, 其工作转速往往远高于其固有频率, 因而其属于挠性转子, 此外, 由于三根摆杆3的刚性非常大, 大盘4的运动轨迹近似于平面运动, 因而, 三足离心机本身近似于圆盘转子。在转鼓1内部偏心负载的激励下, 大盘组件(包括转鼓1, 大盘4, 外壳7, 主轴11和电机9等)会受迫振动。由受迫振动的特点可知, 大盘组件最终的振动周期会与偏心负载的激励周期一致, 即大盘组件会和偏心负载同步运动, 此时, 大盘组件轴心的运动轨迹与图2中转子几何形心  $S$  的运动轨迹相同, 因而宏观上看, 大盘组件的振动特点与圆盘转子极为相似。

[0048] 以下分析大盘组件(包括转鼓1, 大盘4, 外壳7, 主轴11和电机9等)运动过程中所受到的离心力情况。图5 (a) (b) 分别描述了大盘组件的正视图与俯视图, 为表达清楚, 这里用简图表示。图中  $P_1 P_1'$ ,  $P_2 P_2'$  和  $P_3 P_3'$  分别为三根摆杆; 图中  $M$  为电机等效质心,  $A$  为大盘组件的几何形心轴, 为描述方便, 这里首先忽略电机  $M$  偏心位置的影响, 设大盘组件的等效质心  $S$  位于其几何形心轴  $A$  上, 最后再进行修正。图中  $E$  为所有球体等效质心所在位置,  $U$  为偏心负载。图中  $A^*$  为系统自动定心后的旋转轴。其与  $A$  轴的间距  $e$  即为偏心距。设大盘组件的质量为  $m_s$ , 单个球体的质量为  $m_b$ , 偏心负载质量为  $m_u$ ; 设所有球体等效质心  $E$  与  $A$  轴的距离为  $r_{be}$ , 设偏心负载与  $A$  轴的距离为  $r_u$ 。

[0049] 当平衡环中所有球体的最大质量矩  $M_b$  小于偏心负载的质量矩  $m_u r_u$  时, 偏心距  $e$  可表达为

$$e = (m_u r_u - N_t m_b r_{be}) / (m_u + N_t m_b + m_s) \quad (5)$$

[0051] 式中,  $N_t$  为平衡环内球体的总个数。此时作用到偏心负载质心  $U$ , 大盘组件等效质心  $S$  (这里首先忽略电机偏心位置的影响, 设大盘组件的等效质心位于其几何形心轴上, 最后进行修正) 和球体等效质心  $E$  上的离心力可分别表述为

$$F_u = m_u (r_u - e) \Omega^2 \quad (6)$$

$$F_s = m_s e \Omega^2 \quad (7)$$

$$F_{be} = N_t m_b (r_{be} + e) \Omega^2 \quad (8)$$

[0055] 式中  $\Omega$  为三足离心机稳态工作转速。由于三根摆杆的轴向拉伸刚度非常大, 大盘组件的摇摆运动很小, 主要以平面运动为主, 因而  $F_u$ ,  $F_s$  和  $F_{be}$  三者会相互抵消, 即满足

$$F_u - F_s - F_{be} = 0 \quad (9)$$

[0057] 当平衡环中所有球体的最大质量矩  $M_b$  大于等于偏心负载的质量矩  $m_u r_u$  时, 偏心负

载被完全抵消,偏心距 $e=0$ 。由(7)式可知,此时作用到大盘组件等效质心S上的离心力 $F_s$ 为0,此时满足

[0058]  $F_u - F_{be} = 0 \quad (10)$

[0059] 以下讨论大盘组件所受离心力偶的平衡情况。设偏心负载质心U,大盘组件等效质心S和球体等效质心E相对于悬挂平面 $P_1'P_2'P_3'$ 的距离分别为 $h_u$ , $h_s$ 和 $h_b$ ,则 $F_u$ , $F_s$ 和 $F_{be}$ 三者相对于悬挂平面 $P_1'P_2'P_3'$ 的离心力偶分别为 $F_{uhu}$ , $F_{shs}$ 和 $F_{behb}$ 。由于大多数情况下, $h_u$ , $h_s$ 和 $h_b$ 三者不相等,在满足(9)式的情况下,三个力偶不会相互抵消,即

[0060]  $F_{uhu} - F_{shs} - F_{behb} \neq 0 \quad (11)$

[0061] 这会使得三个离心力相对悬挂平面 $P_1'P_2'P_3'$ 产生力偶差,由于 $F_u$ , $F_s$ 和 $F_{be}$ 三者随三足离心机工作转速 $\Omega$ 的增大而增大,该力偶差会越来越大。正常情况下,该力偶差可借助作用到偏心负载,大盘组件,球体等效质心E上的重力力偶以及减震弹簧2弹性恢复力的力偶等加以抵消,但如果 $\Omega$ 过大,这种力偶差会无法得到平衡,从而引起大盘组件在一个运动周期过程中,摆杆 $P_1P_1'$ 底端铰链 $P_1'$ 会与大盘短暂的脱离接触,大盘整体在瞬间会绕着 $P_2'$ , $P_3'$ 轴摇摆振动。同样道理,一个运动周期内,大盘也会相继和其它摆杆底端铰链出现短暂的脱离接触的现象。由于摆杆本身的轴向阻尼有限,这种运动趋势会引起大盘剧烈的振动,这对于三足离心机来说是不可接受的。这里将这种现象称为大盘的倾覆现象,将引起这种现象的临界工作转速 $\Omega$ 称为临界倾覆转速。

[0062] 下面分两种情况讨论大盘的倾覆现象。

[0063] 当负载离心力偶 $F_{uhu}$ 大于 $F_{shs} + F_{behb}$ 时,大盘最容易出现的倾覆位置为图5(a)(b)所示的位置,这是由于此时重力相对于 $P_2'$ , $P_3'$ 轴的力臂最短,其抵消力偶不平衡的能力最弱。如图5(b)所示,设摆杆 $P_1P_1'$ 底端铰链 $P_1'$ 与A轴的距离为 $r_{s1}$ , $P_2'$ , $P_3'$ 连线相对A轴的距离为 $r_{s2}$ ,大盘发生倾覆的临界条件可表达为

[0064]  $F_{uhu} - F_{behb} - F_{shs} - G_s r_{s2} - G_b (r_{s2} + r_{be}) - G_u (r_{s2} - r_u) - F_{pre} (r_{s1} + r_{s2}) = 0 \quad (12)$

[0065] 式中 $G_u = m_{ug}$ , $G_s = m_{sg}$ 和 $G_b = N_{tmbg}$ 分别为作用到偏心负载,大盘组件和球体等效质心E上的重力, $F_{pre}$ 为摆杆 $P_1P_1'$ 上减震弹簧的预紧力。将(6)(7)(8)与 $G_u = m_{ug}$ , $G_s = m_{sg}$ 和 $G_b = N_{tmbg}$ 一起代入到(12)式中,可得此时大盘发生倾覆时的临界转速为

[0066] 
$$\Omega^* = \sqrt{\frac{m_s g r_{s2} + N_t m_b g (r_{s2} + r_{be}) + m_u g (r_{s2} - r_u) + F_{pre} (r_{s1} + r_{s2})}{m_u (r_u - e) h_u - N_t m_b (r_{be} + e) h_b - m_s e h_s}} \quad (13)$$

[0067] 当负载离心力偶 $F_{uhu}$ 小于或等于 $F_{shs} + F_{behb}$ 时,大盘最容易出现的倾覆位置为图6(a)(b)所示的位置。图中A为大盘组件的几何形心轴, $A^*$ 为系统自动定心后的旋转轴,两轴间距 $e$ 即为偏心距。依据(12)式同样的方法,可得到此时大盘发生倾覆的临界条件为

[0068]  $F_{behb} + F_{shs} - F_{uhu} - G_s r_{s2} - G_b (r_{s2} - r_{be}) - G_u (r_{s2} + r_u) - F_{pre} (r_{s1} + r_{s2}) = 0 \quad (14)$

[0069] 将(6)(7)(8)与 $G_u = m_{ug}$ , $G_s = m_{sg}$ 和 $G_b = N_{tmbg}$ 一起代入到(14)式中,可得此时大盘发生倾覆时的临界转速为

[0070] 
$$\Omega^* = \sqrt{\frac{m_s g r_{s2} + N_t m_b g (r_{s2} - r_{be}) + m_u g (r_{s2} + r_u) + F_{pre} (r_{s1} + r_{s2})}{N_t m_b (r_{be} + e) h_b + m_s e h_s - m_u (r_u - e) h_u}} \quad (15)$$

[0071] 令

[0072]  $\Delta = N_{tmb} (r_{be} + e) h_b + m_s e h_s - m_u (r_u - e) h_u \quad (16)$

[0073] 此时(13)和(15)两式可统一表达为

$$[0074] \quad \Omega^* = \begin{cases} \sqrt{\frac{m_s gr_{s2} + N_t m_b g(r_{s2} + r_{be}) + m_u g(r_{s2} - r_u) + F_{pre}(r_{s1} + r_{s2})}{-\Delta}} & \Delta < 0 \\ \sqrt{\frac{m_s gr_{s2} + N_t m_b g(r_{s2} - r_{be}) + m_u g(r_{s2} + r_u) + F_{pre}(r_{s1} + r_{s2})}{\Delta}} & \Delta > 0 \end{cases} \quad (17)$$

[0075] 为简化描述,在确定临界倾覆转速 $\Omega^*$ 的过程中,未考虑电机偏心位置的影响,这里进行修正。设电机本身的质量为 $m_m$ ,电机质心相对于A轴的距离在正视图上的投影为 $D_m$ ,则电机重力相对于图5与图6中 $P_2'P_3'$ 连线的力偶为 $m_m g(D_m - r_{s2})$ ,将该项代入(12)(14)两式中,并重新推导(17)式可得

$$[0076] \quad \Omega^* = \begin{cases} \sqrt{\frac{m_s gr_{s2} + N_t m_b g(r_{s2} + r_{be}) + m_u g(r_{s2} - r_u) + F_{pre}(r_{s1} + r_{s2}) - m_m g(D_m - r_{s2})}{-\Delta}} & \Delta < 0 \\ \sqrt{\frac{m_s gr_{s2} + N_t m_b g(r_{s2} - r_{be}) + m_u g(r_{s2} + r_u) + F_{pre}(r_{s1} + r_{s2}) - m_m g(D_m - r_{s2})}{\Delta}} & \Delta > 0 \end{cases} \quad (18)$$

[0077] 以下为本发明的计算实例。

[0078] 计算实例1:

[0079] 1、测量得到某三足离心机的具体设计参数如下:大盘组件(包括转鼓1,大盘4,外壳7,主轴11和电机9等)总质量 $m_s$ 为80kg,电机本身质量 $m_m$ 为18kg,电机质心相对于A轴的距离在正视图上的投影 $D_m$ 为0.36m,平衡环中球体旋转半径 $r_b$ 为0.13m,设平衡环内球体的直径 $d=0.029m$ ,球体采用钢球,其密度 $\rho=7850kg/m^3$ ,则球体的重量 $m_b=1/6\pi d^3\rho\approx0.1kg$ ,弹簧预紧力 $F_{pre}$ 为100N,摆杆 $P_1P_1'$ 底端铰链 $P_1'$ 与A轴的距离 $r_{s1}$ 为0.27m, $P_2'P_3'$ 连线相对A轴的距离 $r_{s2}$ 为0.135m,平衡环相对悬挂平面 $P_1'P_2'P_3'$ 的安装高度 $h_b$ 为0.2m,大盘组件质心相对悬挂平面 $P_1'P_2'P_3'$ 的高度 $h_s$ 为0.05m。

[0080] 2、估算最大偏心负载质量 $m_u=1kg$ ,偏心负载旋转半径 $r_u=0.1m$ ,偏心负载的高度 $h_u=0.1m$ 。

[0081] 3、由平衡环中球体旋转半径 $r_b$ 为0.13m,球体的直径 $d=0.029m$ ,可得两个球体间的夹角

$$[0082] \quad \psi \approx \frac{d}{r_b} = \frac{0.029}{0.13} \approx 0.2231 \text{ rad},$$

[0083] 这里设球体个数为3,则图4中平衡环上半部球体个数为1,按照(1)式计算此时球体的最大质量矩为

$$[0084] \quad M_b = m_b r_b \left( 1 + 2 \sum_{k=1}^1 \cos(k\psi) \right) = 0.1 \times 0.13 \times (1 + 2 \cos 0.2231) \approx 0.0384 \text{ kg m}$$

[0085] 4、偏心负载质量矩 $m_u r_u = 1 \times 0.1 = 0.1 \text{ kg m}$ ,由于 $M_b < m_u r_u$ ,按照(3)式计算球体等效旋转半径

$$[0086] \quad r_{be} = M_b / (N_t m_b) = 0.0384 / (3 \times 0.1) \approx 0.128 \text{ m}$$

[0087] 5、由于 $M_b < m_u r_u$ ,根据(5)式计算偏心距 $e$

$$[0088] \quad e = (m_u r_u - N_t m_b r_{be}) / (m_u + N_t m_b + m_s)$$

$$[0089] \quad = (1 \times 0.1 - 3 \times 0.1 \times 0.128) / (1 + 3 \times 0.1 + 80)$$

[0090]  $\approx 7.58 \times 10^{-4} \text{m}$

[0091] 6、根据(16)计算 $\Delta$

$$\Delta = N_{tmb} (r_{be} + e) h_b + m_s e h_s - m_u (r_u - e) h_u$$

$$= 3 \times 0.1 \times (0.128 + 7.58 \times 10^{-4}) \times 0.2 + 80 \times 7.58 \times 10^{-4} \times 0.05 - 1 \times (0.1 - 7.58 \times 10^{-4}) \times 0.1$$

$$\approx 8.25 \times 10^{-4} \text{kg m}^2$$

[0095] 7、按照(18)式计算临界倾覆转速,由于 $\Delta > 0$ ,固

$$\Omega^* = \sqrt{\frac{m_s g r_{s2} + N_t m_b g (r_{s2} - r_{be}) + m_u g (r_{s2} + r_u) + F_{pre} (r_{s1} + r_{s2}) - m_m g (D_m - r_{s2})}{\Delta}}$$

$$= \sqrt{\frac{80 \times 9.8 \times 0.135 + 3 \times 0.1 \times 9.8 \times (0.135 - 0.128) + 1 \times 9.8 \times (0.135 + 0.1)}{8.25 \times 10^{-4}}} \\ + 100 \times (0.27 + 0.135) - 18 \times 9.8 \times (0.36 - 0.135)$$

$$\approx 363.36 \text{ rad/s}$$

$$\approx 57.8 \text{ Hz}$$

[0097] 计算实例2

[0098] 1、设某三足离心机的具体设计参数与计算实例1相同,但本实例中不考虑平衡环的作用。

[0099] 2、设最大偏心负载与计算实例1相同。

[0100] 3、本例不考虑平衡环的作用,设球体个数为0,球体最大质量矩 $M_b = 0$ 。

[0101] 4、偏心负载质量矩 $m_u r_u = 1 \times 0.1 = 0.1 \text{kg m}$ ,由于 $M_b < m_u r_u$ ,按照(3)式计算球体等效旋转半径 $r_{be} = 0$ 。

[0102] 5、由于 $M_b < m_u r_u$ ,根据(5)式计算偏心距 $e$

$$e = (m_u r_u - 0) / (m_u + 0 + m_s)$$

$$= 1 \times 0.1 / (1 + 80)$$

$$\approx 0.0012 \text{m}$$

[0106] 6、根据(16)计算 $\Delta$

$$\Delta = N_{tmb} (r_{be} + e) h_b + m_s e h_s - m_u (r_u - e) h_u$$

$$= 0 + 80 \times 0.0012 \times 0.05 - 1 \times (0.1 - 0.0012) \times 0.1$$

$$\approx -0.0049 \text{kg m}^2$$

[0110] 7、按照(18)式计算临界倾覆转速,由于 $\Delta < 0$ ,固

$$\Omega^* = \sqrt{\frac{m_s g r_{s2} + N_t m_b g (r_{s2} + r_{be}) + m_u g (r_{s2} - r_u) + F_{pre} (r_{s1} + r_{s2}) - m_m g (D_m - r_{s2})}{-\Delta}}$$

$$= \sqrt{\frac{80 \times 9.8 \times 0.135 + 0 + 1 \times 9.8 \times (0.135 - 0.1) + 100 \times (0.27 + 0.135) - 18 \times 9.8 \times (0.36 - 0.135)}{-(-0.0049)}}$$

$$\approx 147.2 \text{ rad/s}$$

$$\approx 23.43 \text{ Hz}$$

[0112] 通过计算实例1与2的对比不难发现,在同样的设计参数值与同样偏心负载的情况下,平衡环的采用可以极大提高三足离心机的临界倾覆转速。

[0113] 以上所举实施例为本发明的较佳实施方式,仅用来方便说明本发明,并非对本发

明作任何形式上的限制,任何所属技术领域中具有通常知识者,若在不脱离本发明所提技术特征的范围内,利用本发明所揭示技术内容所作出局部改动或修饰的等效实施例,并且未脱离本发明的技术特征内容,均仍属于本发明技术特征的范围内。

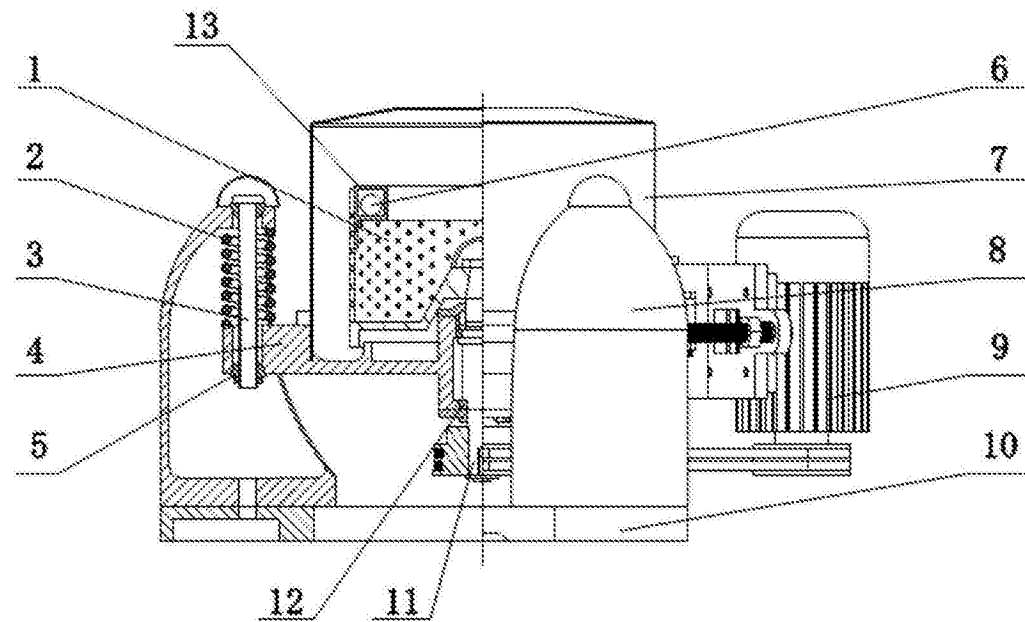


图1

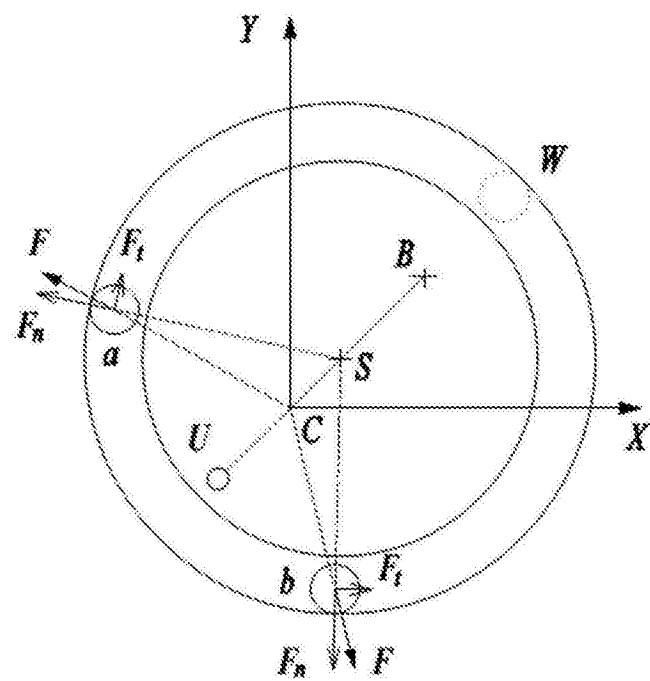


图2

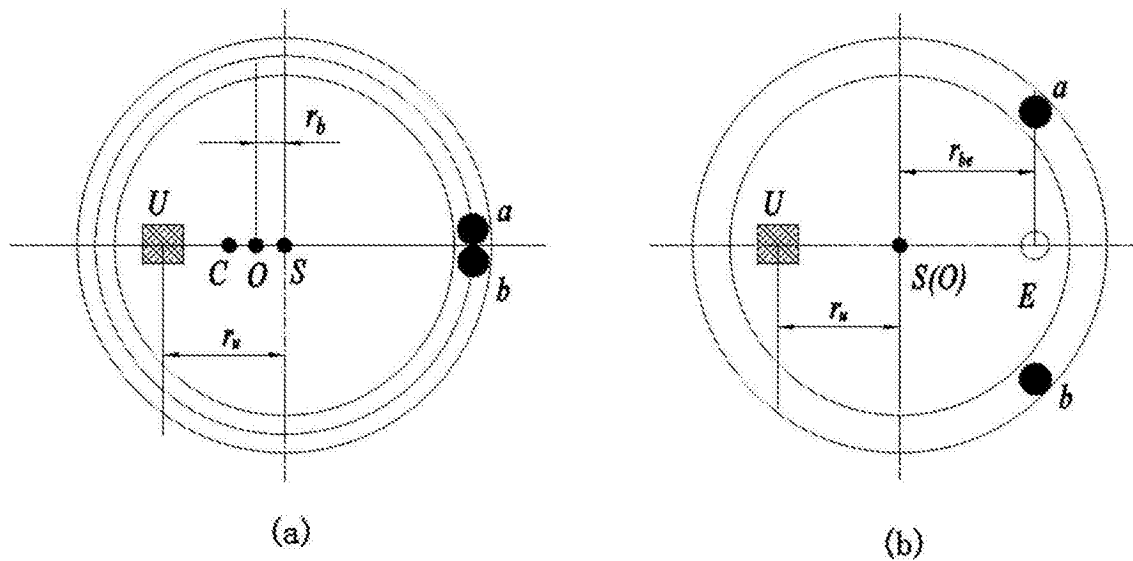


图3

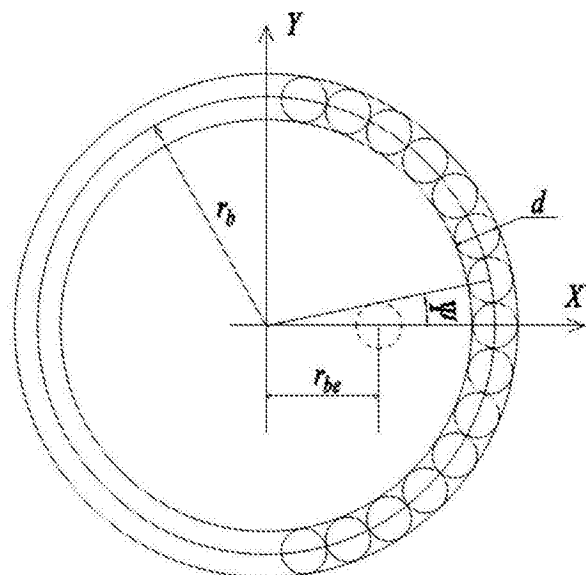
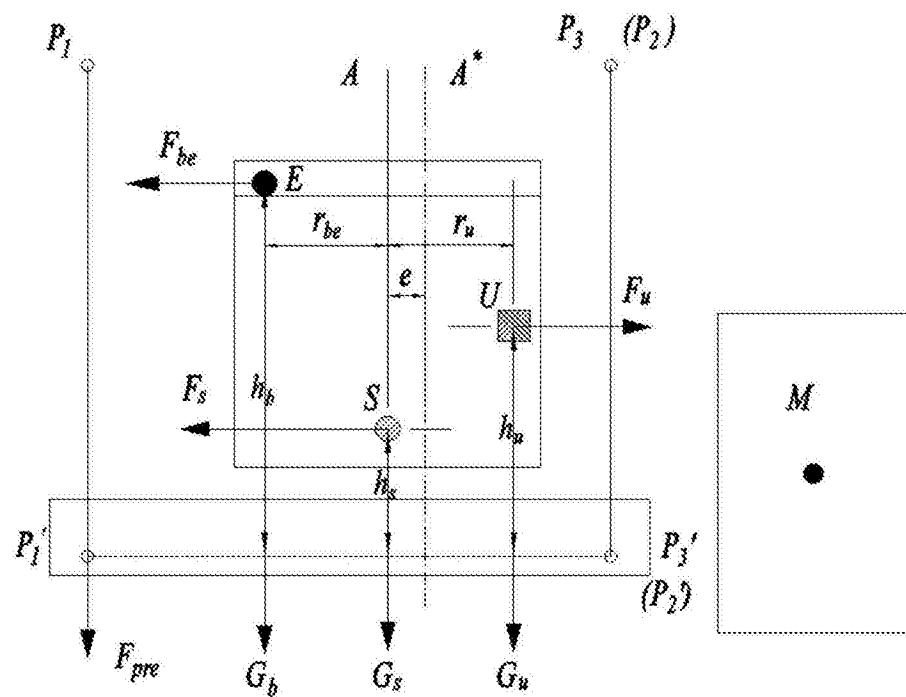
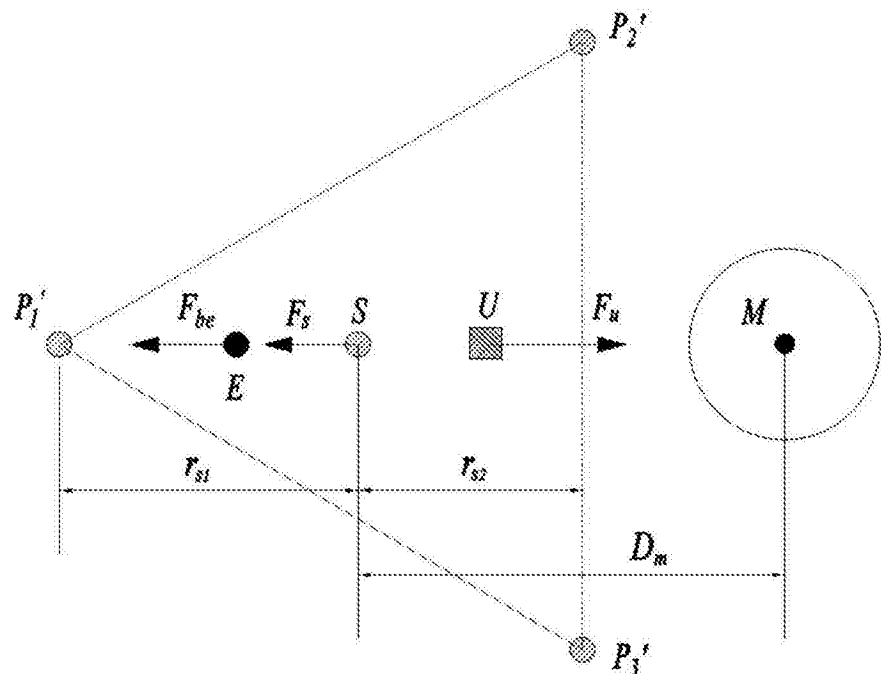


图4



(a)



(b)

图5

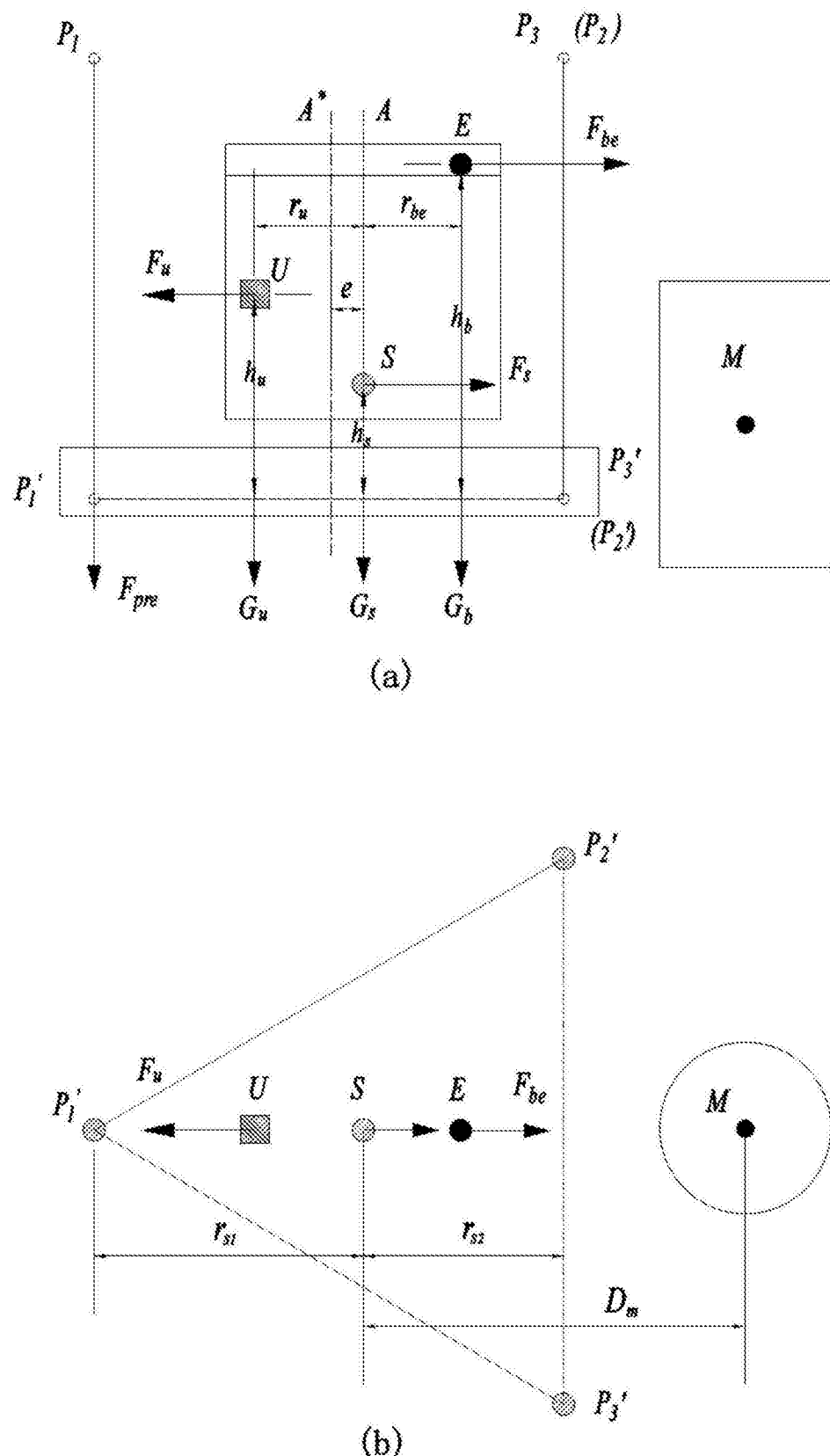


图6